

(مقاله پژوهشی)

ضریب اصطکاک جریان مغشوش سیال پایه و نانوسیال از دیدگاه آماری*فرهاد وحیدی نیا^(۱) قنبرعلی شیخزاده^(۲)

چکیده در این مقاله، روابط ارائه شده در متون علمی برای ضریب اصطکاک جریان مغشوش سیال پایه و نانوسیال به صورت آماری بررسی و تحلیل شده است. به منظور تحلیل آماری و انتخاب بهترینتابع توزیع احتمال برای پارامتر ضریب اصطکاک، از ۱۸ تابع توزیع احتمالاتی و ۳ آماره کولموگروف- اسمیرنوف، اندرسون- دارلینگ و مربع کای استفاده شده است. پس از تعزیز و تحلیل نتایج، مشخص گردید که بر اساس هر سه آماره، تابع توزیع احتمال ضریب اصطکاک در سیال پایه و نانوسیال، تابع توزیع احتمال جانسون اس بی است. همچنین مشاهده گردید که تابع توزیع احتمال ضریب اصطکاک سیال پایه و نانوسیال نسبت به تابع توزیع نرمال پهن تر است. از طرفی دیگر، چوکی تابع توزیع احتمال جانسون اس بی به طرف راست است.

واژه‌های کلیدی ضریب اصطکاک؛ تابع توزیع احتمال جانسون اس بی؛ جریان مغشوش؛ آماره‌های کولموگروف- اسمیرنوف؛ اندرسون- دارلینگ و مربع کای.

The Friction Factor of Turbulent Flow of the Base Fluid and Nanofluid in the Statistical Approach

F. Vahidinia G.A. Sheikhzadeh

Abstract In this paper, the presented correlations in scientific literature for friction factor of turbulent flow in the base fluid and nanofluid has been analyzed statistically. In order to perform the statistical analysis and select the best probability distribution function for the friction factor, from 48 probability distribution functions and 3 statistic of Kolmogorov-Smirnov, Anderson-Darling and chi squared has been used. The results show that, based on all three statistics, the probability distribution function of the friction factor in the base fluid and nanofluid is the Johnson SB probability distribution function. Furthermore, it was observed that the probability distribution function of the friction factor of the base fluid and nanofluid is wider than the normal distribution function. On the other side, the probability distribution function of Johnson SB has a right skewness.

Key Words Friction Factor, Johnson SB Probability Distribution Function, Turbulent Flow, The Statistics of Kolmogorov-Smirnov, Anderson-Darling and Chi Squared.

*تاریخ دریافت مقاله ۹۸/۴/۲۳ و تاریخ پذیرش آن ۹۹/۱/۲۵ می‌باشد.

(۱) دانشجوی دکتری، دانشکده مهندسی مکانیک، دانشگاه کاشان، کاشان، ایران

(۲) نویسنده مسئول: استاد، دانشکده مهندسی مکانیک، دانشگاه کاشان، کاشان، ایران sheikhz@kashanu.ac.ir

مقدمه

حرارت چقدر است و موضوع دوم، افزایش افت فشار ناشی از استفاده از نانوسیال چه مقدار است. در پایان مطالعه نیز بر اساس داده‌های آزمایشگاهی و یا عددی روابطی جهت عدد ناسلت و ضریب اصطکاک ارائه می‌نمایند [6, 7]. شرما و همکاران [8] با قرار دادن نوارهای پیچشی با نسبت پیچش مختلف در داخل یک لوله دایره‌ای شکل، به طور تجربی جریان مغشوش سیال نانوی اکسید آلمینیوم-آب را مطالعه نمودند. آنها رابطه‌ای برای ضریب اصطکاک بر حسب عدد رینولدز، کسر حجمی ذرات نانو و نسبت پیچش نوار توسعه دادند. مطالعه آزمایشگاهی انتقال حرارت و افت فشار نانوسیال نانولوله‌های کربنی چند دیواره و سیال پایه آب در یک لوله افقی حاوی کوئل سیمی توسط اخوان بهبادی و همکاران [9] انجام شد. آنها بر اساس متغیرهای مستقل عدد رینولدز، کسر حجمی ذرات نانو، نسبت ارتفاع کوئل به قطر لوله و نسبت گام کوئل به قطر لوله رابطه‌ای برای ضریب اصطکاک ارائه کردند. بر اساس روابط توسعه داده شده ضریب اصطکاک، مشاهده می‌شود که سیستم‌های انتقال سیالات و تأسیسات انتقال حرارت شامل عدم قطعیت‌هایی می‌باشند. این عدم قطعیت‌ها در واقع همان متغیرهای مستقل شامل عدد رینولدز، کسر حجمی و قطر نانوذرات، هندسه جریان، نسبت پیچش نوارهای داخل کanal و نسبت منظری می‌باشند؛ بنابراین تغییر هر متغیر منجر به تغییر ضریب اصطکاک و افت فشار جریان می‌شود؛ لذا، جهت کارایی مناسب سیستم‌ها، تحلیل آماری متغیرهای وابسته‌ای همانند ضریب اصطکاک ضرورت دارد. وحیدی‌نیا و همکاران [10] بر اساس تحلیل آماری، اثر کسر حجمی نانوذرات را در انتقال حرارت جابجایی جریان مغشوش در یک لوله دایره‌ای شکل مطالعه نمودند. آنها نتیجه گرفتند مناسب‌ترین تابع توزیع دو پارامتری برای ضریب انتقال حرارت، تابع توزیع گمبول ماکزیمم است. آنها در مطالعه‌ای دیگر [11] اثر قطر نانوذرات را بر خواص

یکی از پارامترهای مهمی که در انتقال سیالات همواره مورد توجه قرار می‌گیرد ضریب اصطکاک دیواره است. ضریب اصطکاک در جریان سیال به متغیرهای مختلفی وابسته است. این متغیرها در سیال پایه عبارت‌اند از عدد رینولدز و ساختار جریان از لحاظ آرام یا مغشوش بودن و در جریان نانوسیال علاوه بر دو متغیر عدد رینولدز و ساختار جریان به متغیرهای دیگری از قبیل کسر حجمی نانوذرات، اندازه و شکل نانوذرات نیز وابسته است [1]. متغیرهای مستقل دیگری نیز در توسعه روابط ضریب اصطکاک مشاهده می‌شود که شامل ابعاد کanal و عدد پرانتل می‌باشند [2]. بعضی از روابط نیز فقط بر حسب فشار جریان سیال و نسبت منظری کanal ارائه شده‌اند [3]. هدف از مطالعه حاضر بررسی روابط ضریب اصطکاک در جریان مغشوش سیال پایه و نانوسیال و تحلیل آماری این پارامتر است. به همین دلیل در این مقاله از روابط ارائه شده برای ضریب اصطکاک سیال پایه و نانوسیال در جریان مغشوش استفاده می‌شود.

نانوسیالات دسته‌ای از سیالات انتقال حرارت هستند که ذرات فلزی و نافلزی در ابعاد کمتر از ۱۰۰ نانومتر در آن معلق بوده و به طور قابل ملاحظه‌ای پتانسیل انتقال حرارت را افزایش می‌دهند [4]. از نانوسیالات با هدف بهبود و افزایش انتقال حرارت بجای سیالات پایه‌ای چون آب و اتیلن گلیکول استفاده می‌شود. در حوزه نانوسیالات در سال‌های اخیر پژوهش‌های زیادی انجام شده است که اغلب از نانوذرات مختلفی از جمله SiO_2 , CuO , TiO_2 , Al_2O_3 , Fe_3O_4 , ZnO , CNTs , Cu , Ag و سیالات پایه‌ای چون آب، روغن، اتیلن گلیکول، پروپیلن گلیکول و مخلوط آب و اتیلن گلیکول استفاده شده است [5]. دانشمندان در مطالعات نانوسیالات معمولًا دو موضوع را مورد بررسی قرار می‌دهند. موضوع اول اینکه با استفاده از نانوسیال مقدار افزایش انتقال

ضریب اصطکاک سیال پایه در یک لوله صاف ارائه کردند. از طرفی دیگر لی و همکاران [15] با مطالعه آزمایشگاهی و عددی انتقال حرارت در یک مبدل حرارتی دو لوله‌ای با لوله‌های زیر روابط متعددی برای ضریب اصطکاک ارائه کردند که رابطه (۴) جهت تحلیل آماری انتخاب شده است. آنان در مطالعه عددی جهت حل معادلات حاکم و ارتباط تنش رینولدز و Realizable k - ε میدان سرعت از مدل دو معادله‌ای استفاده نمودند. با بررسی روابط جدول (۱) مشاهده می‌شود که پارامتر عدد رینولدز متغیری مهم برای ضریب اصطکاک است و با افزایش عدد رینولدز، ضریب اصطکاک کاهش می‌یابد. بر اساس جدول (۱) روابطی که ارائه شده است فقط به یک متغیر که عدد رینولدز است وابسته می‌باشند. تغییرات ضریب اصطکاک بر حسب عدد رینولدز مطابق روابط جدول (۱) در شکل (۱-الف) ترسیم شده است. در این شکل نیز مشاهده می‌شود که با افزایش عدد رینولدز در هر دو نوع لوله صاف و زیر ضریب اصطکاک سطحی کاهش می‌یابد. از سوی دیگر ضریب اصطکاک سطحی در لوله زیر خیلی بیشتر از لوله صاف است که این موضوع باعث افت فشار در جریان سیال می‌شود. به همین دلیل در مبحث انتقال سیالات استفاده از لوله‌های صاف نسبت به لوله‌های زیر مناسب‌تر است. برای تعیین بهترین تابع توزیع احتمال برای پارامتر ضریب اصطکاک از ۴۸ تابع توزیع مختلف چند پارامتری استفاده شده است.

آماری جریان مغشوش نانوسیال بررسی کردند و دریافتند که تابع توزیع احتمال فسچر مناسب‌ترین تابع توزیع برای عدد ناسلت است.

در مقاله حاضر، ابتدا روابط ضریب اصطکاک ارائه شده برای سیال پایه و نانوسیال در جریان مغشوش مورد بررسی قرار گرفته است. سپس با عنایت به اهمیت عدد رینولدز در جریان مغشوش بر اساس تغییر این متغیر، تحلیل آماری صورت گرفته است. جهت تحلیل آماری از نرم‌افزار ایزی‌فیت استفاده شده است. بر اساس داده‌های ضریب اصطکاک، از ۴۸ تابع توزیع احتمال مختلف با استفاده از تست‌های کولموگروف-اسمیرنوف، اندرسون-دارلینگ و مربع کای، بهترین تابع توزیع احتمال متغیر وابسته ضریب اصطکاک گزینش شده است.

روابط ارائه شده برای سیال پایه و تحلیل آماری آنها

پس از بررسی پژوهش‌های مختلف در حوزه نانوسیال مشاهده گردید که اکثر محققان جهت مقایسه نتایج عددی و آزمایشگاهی ضریب اصطکاک و اطمینان از صحت مطالعه انجام شده اغلب از دو رابطه بلازیوس [12] و پتوخوف [13] استفاده می‌نمایند. این روابط در جدول (۱) آورده شده است. همچنین نیفون و همکاران [14] انتقال حرارت و افت فشار جریان سیال را در یک مبدل حرارتی با لوله‌های صاف و شیاردار مارپیچی بررسی نمودند. آنها رابطه‌ای برای محاسبه

جدول «۱»: روابط ارائه شده ضریب اصطکاک برای سیال پایه در جریان مغشوش

نویسنده	رابطه ارائه شده	
[12] بلازیوس	$f = 0.316Re^{-0.25}$ ، $(3000 \leq Re \leq 10^5)$	(۱)
[13] پتوخوف	$f = (0.79\ln Re - 1.64)^{-2}$ ، $(10^4 \leq Re \leq 5 \times 10^6)$	(۲)
[14] نیفون و همکاران	$f = 0.66Re^{-0.33}$ ، $(5000 \leq Re \leq 25000)$	(۳)
[15] لی و همکاران	$f = 0.3486Re^{-0.18}$ ، $(3000 \leq Re \leq 8000)$	(۴)

تابع توزیع احتمال جانسون اس‌بی برای داده‌های ضریب اصطکاک روابط بلازیوس، پتوخوف، نیفون و همکاران و لی و همکاران در شکل (۱-ب) ترسیم گردیده است.

در شکل (۱-ب) مشاهده می‌شود که تابع توزیع احتمال ضریب اصطکاک همه روابط، چولگی به طرف راست دارد. همان‌طور که در شکل (۱-ب) مشاهده می‌شود تجمع داده‌ها در سمت چپ هر نمودار بیشتر است یا در واقع تغییرات داده‌ها در این منطقه کم است. در سمت راست نمودار نیز مشاهده می‌شود که ضریب اصطکاک تغییرات زیادی نموده است، به همین دلیل نمودار به سمت راست کج شده و یا در واقع چولگی راست پیدا کرده است؛ بنابراین این موضوع را می‌توان به این صورت بیان کرد که اگر نمودار تابع توزیع ضریب اصطکاک چولگی راست داشته باشد با افزایش عدد رینولدز، تغییرات ضریب اصطکاک کمتر می‌شود و یا در واقع وابستگی ضریب اصطکاک به عدد رینولدز کمتر می‌شود. چنین نتیجه‌ای در متون علمی و نمودار مودی نیز مشاهده می‌شود.

پس از بررسی نتایج بر اساس آماره‌های کولموگروف-اسمیرنوف، اندرسون-دارلینگ و مربع کای مشخص گردید که بهترین تابع توزیع احتمال برای پارامتر ضریب اصطکاک سیال پایه با تغییر متغیر عدد رینولدز ($Re < 2 \times 10^5$) بر اساس هر سه آماره مذکور، تابع توزیع احتمال جانسون اس‌بی است. این تابع توزیع احتمال به صورت زیر تعریف می‌شود:

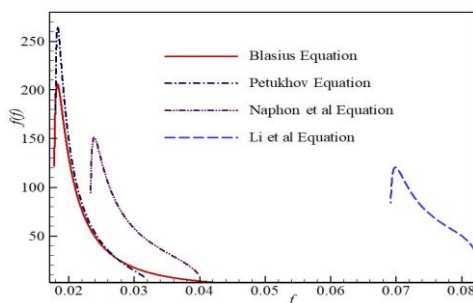
$$f(f) = \frac{\delta}{\lambda \sqrt{2\pi} z(1-z)} \exp\left(-\frac{1}{2}\left(\gamma + \delta \ln\left(\frac{z}{1-z}\right)\right)^2\right) \quad (5)$$

در رابطه (۵)، $\gamma = f/\lambda$ ، $z = f - \gamma$ و δ ضریب شکل، λ ضریب مقیاس و γ ضریب مکان است. همچنین رابطه بین پارامتر مکان و ضریب مقیاس با ضریب اصطکاک به صورت $\lambda = \gamma + \delta \leq f$ که است.

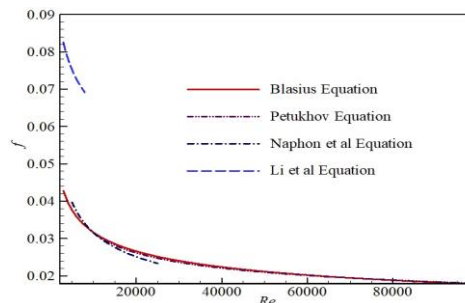
از طرفی دیگر پس از بررسی نتایج آماری مشاهده گردید که بهترین آماره برای تحلیل داده‌های ضریب اصطکاک، آماره کولموگروف-اسمیرنوف است که این موضوع در جدول (۲) منعکس گردیده است. هرچه مقدار آماره کمتر باشد، آن آماره مناسب‌تر است.

جدول «۲»: مقدار آماره‌های کولموگروف-اسمیرنوف، اندرسون-دارلینگ-اسمیرنوف و مربع کای تابع توزیع احتمال جانسون اس‌بی

آماره	کولموگروف-اسمیرنوف	اندرسون-دارلینگ	مربع کای
کولموگروف-اسمیرنوف	۰/۰۴۷۶	۰/۰۳۴۶۷	۰/۰۶۹۳۱
اندرسون-دارلینگ	۰/۰۱۱۷۵	۰/۰۰۷۷۲	۰/۰۰۹۲۱۷
مربع کای	۰/۰۲۵۶۵	۰/۰۳۰۷۴	۰/۰۷۱۰۴



ب



الف

شکل «۱»: الف- تغییرات ضریب اصطکاک بر حسب عدد رینولدز مراجع [۱۵-۱۲]،
ب- تابع توزیع احتمال جانسون اس‌بی ضریب اصطکاک برای روابط مراجع [۱۵-۱۲]

جدول «۳»: مقدار چولگی داده‌های ضریب اصطکاک برای سیال پایه در جریان مغشوش

لی و همکاران [15]	نیفون و همکاران [14]	پتوخوف [13]	بلازیوس [12]	
۰/۴۱۲۳	۰/۷۹۶۲	۱/۱۸۱	۱/۶۹۵۱	چولگی

واقع داده‌های ضریب اصطکاک نزدیک به هم در سمت چپ نمودار مجتمع گردیده‌اند. در حقیقت تغیرات در ضریب اصطکاک کوچکتر، کمتر است. این موضوع به این نتیجه ختم می‌شود که با افزایش عدد رینولدز و ثابت بودن سایر شرایط از قبیل کسر حجمی، نسبت ارتفاع شیار به قطر لوله و نسبت گام شیار به قطر لوله، تغیرات ضریب اصطکاک کمتر می‌شود. بر اساس جدول داده‌های آمار توصیفی رابطه (۶)، مقدار چولگی داده‌ها برابر $0/78978$ است. در واقعتابع توزیع احتمال جانسون اس‌بی داده‌ها، چولگی راست دارد و یا تجمع داده‌ها در سمت چپ نمودار بیشتر است. موضوع بعدی که بر اساس شکل (۲-ب) می‌توان به آن اشاره کرد کشیدگی یا برجستگی یا میزان تیزی تابع توزیع احتمال داده‌ها یعنی جانسون اس‌بی نسبت به تابع توزیع احتمال نرمال است. تابع توزیع احتمال نرمال به صورت زیر تعریف می‌شود:

$$f(f) = \exp\left[-\frac{1}{2}\left(\frac{f-\mu}{\sigma}\right)^2\right] / \sigma\sqrt{2\pi} \quad (7)$$

در رابطه (۷) پارامترهای σ و μ به ترتیب ضریب مکان و پارامتر مقیاس تابع توزیع احتمال نرمال است. اگر داده‌های ضریب اصطکاک به طور یکسانی توزیع شوند، در این حالت کشیدگی آنها برابر صفر می‌شود و تابع توزیع آنها نرمال خواهد بود. بر اساس شکل (۲-ب) تابع توزیع احتمال جانسون اس‌بی نسبت به تابع توزیع احتمال نرمال پهن‌تر است.

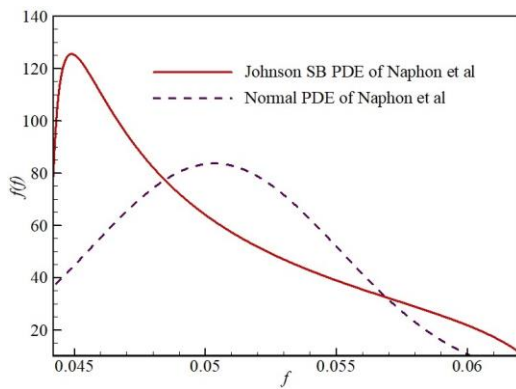
بر اساس محاسبات آماری ضریب اصطکاک روابط بلازیوس، پتوخوف، نیفون و همکاران و لی و همکاران، با استفاده از نرم‌افزار ایزی فیت، جدول (۳) تنظیم شده است.

بر اساس مقادیر جدول (۳) مشاهده می‌شود که چولگی داده‌های روابط بلازیوس، پتوخوف، نیفون و همکاران و لی و همکاران، مثبت و در واقع نمودار تابع توزیع احتمال آنها دارای چولگی راست است. همان‌طور که در مطلب بالا بیان گردید روابط تحلیل شده، روابطی یک‌متغیره هستند. نویسنده‌گان مرجع [14] رابطه دیگری نیز برای ضریب اصطکاک در یک لوله‌ی شیاردار بر حسب متغیرهای عدد رینولدز، نسبت ارتفاع شیار به قطر لوله (χ/d_i) و نسبت گام شیار به قطر لوله (p/d_i) توسعه دادند:

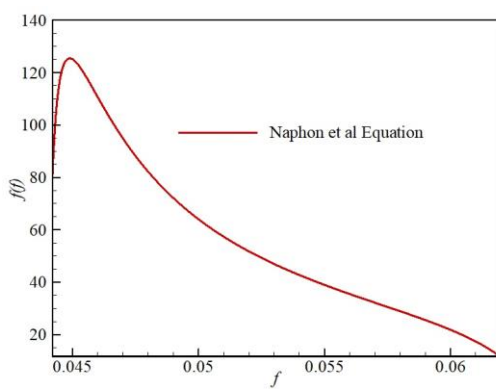
$$f = 7.85 (\chi/d_i)^{1.68} (p/d_i)^{-0.54} Re^{-0.21} \quad (6)$$

در رابطه (۶) عدد رینولدز به صورت $5000 \leq Re \leq 25000$ و $0.12 \leq \chi/d_i \leq 0.19$ است. در تحلیل آماری ضریب اصطکاک از $p/d_i = 0.15$ و $\chi/d_i = 0.78$ استفاده شده است.

برای رابطه (۶) پس از تحلیل نتایج، مشخص گردید که بر اساس آمارهای یادشده بالا، بهترین تابع توزیعی که بتواند تمامی داده‌های ضریب اصطکاک سیال پایه را تحلیل نماید تابع توزیع احتمال جانسون اس‌بی است که در شکل (۲-الف) ترسیم گردیده است. همان‌طور که در این شکل مشاهده می‌شود تجمع داده‌ها در سمت چپ نمودار بیشتر است که در



ب



الف

شکل ۲(الف): تابع توزیع احتمال جانسون اس‌بی ضریب اصطکاک رابطه (۶) مرجع [۱۴]

شکل ۲(ب): مقایسه تابع توزیع احتمال جانسون اس‌بی و نرمال ضریب اصطکاک رابطه (۶) مرجع [۱۴]

ماکریم نمودار در سمت چپ مقدار میانگین قرار دارد. از طرفی دیگر با توجه به تغییرات کم ضریب اصطکاک در اعداد رینولدز بالا و تغییرات بسیار زیاد ضریب اصطکاک در اعداد رینولدز کم، پراکندگی داده‌ها نسبت به حالت نرمال بیشتر است و یا در واقع نمودار توزیع احتمال نسبت به حالت نرمال پهن‌تر است. از طرفی دیگر مقدار آماره‌های کولموگروف-اسمیرنوف، اندرسون-دارلینگ و مربع کای تابع توزیع احتمال جانسون اس‌بی به ترتیب برابر $0/۰۳۰۶۱$ ، $۰/۰۰۸۲۳$ و $۰/۱۵۴۲۵$ است. بر این اساس بهترین آماره داده‌های ضریب اصطکاک رابطه (۶)، آماره کولموگروف-اسمیرنوف است.

روابط ارائه شده ضریب اصطکاک در جریان نانوسیال و تحلیل آماری آنها

نانوسیالات مبردهای جدید انتقال حرارت هستند که در دو دهه اخیر مطالعات زیادی در مورد کاربرد آنها در مبدل‌های حرارتی صورت گرفته است. وجود ذرات فلزی و یا نافلزی در سیال عامل باعث شده است که بررسی ضریب اصطکاک از اهمیت زیادی برخوردار باشد. در این راستا در اغلب مطالعات، روابطی جهت پارامتر ضریب اصطکاک نیز ارائه شده است. با توجه به

از طرفی دیگر، با استفاده از محاسبات نرم‌افزار ایزی‌فیت، میزان برجستگی داده‌های ضریب اصطکاک برای رابطه (۶) نیفون و همکاران برابر مقدار ($۵۵۳۵۴/-۰$) است. با عنایت به منفی بودن مقدار برجستگی، تابع توزیع احتمال جانسون اس‌بی نسبت به تابع توزیع احتمال نرمال پهن‌تر است. برای روشن شدن این مطلب دوباره به شکل (۱-الف) مراجعه می‌شود. همان‌طور که در شکل (۱-الف) مشاهده می‌شود، در ابتدای نمودار هنگامی که عدد رینولدز از مقدار ۵۰۰۰ تا ۲۰۰۰۰ افزایش می‌یابد، تغییرات کاهشی ضریب اصطکاک بسیار زیاد است. از ۲۰۰۰۰ تا ۴۰۰۰۰ این تغییرات کاهشی کم و در نهایت در اعداد رینولدز بالا تغییرات بسیار اندک است؛ یعنی در اعداد رینولدز بالا مقادیر ضریب اصطکاک به یکدیگر نزدیک و در واقع تجمع داده‌های ضریب اصطکاک در این محدوده از اعداد رینولدز زیاد است. تغییرات زیاد ضریب اصطکاک در اعداد رینولدز کم و تغییرات کم آن در اعداد رینولدز بالا باعث پراکندگی داده‌ها گردیده است. به‌منظور توضیحات بیشتر، از شکل (۲-ب) استفاده می‌شود. میانگین داده‌های ضریب اصطکاک بر اساس رابطه نیفون و همکاران برابر $۰/۰۵۰۳۴$ است. با عنایت به تجمع داده‌ها در اعداد رینولدز بالا، مقدار

حسب تغییر عدد رینولدز برای این سه نانوسیال ترسیم گردیده است. همان‌طور که مشاهده می‌شود تغییرات ضریب اصطکاک در اعداد رینولدز بالا نسبت به اعداد رینولدز پایین، کمتر است. با بررسی نتایج آماری سه نانوسیال بر اساس آماره‌های کولموگروف-اسمیرنوف، اندرسون-دارلینگ و مربع کای جداول (۵-۷) ترسیم شده است. جداول (۵-۷) بیانگر بهترین توابع توزیع احتمال و مقادیر آنها برای ضریب اصطکاک سه نانوسیال اکسید مس/آب، اکسید الومینیوم/آب و دی‌اکسید سیلیسیم/آب به ترتیب برای آماره‌های کولموگروف-اسمیرنوف، اندرسون-دارلینگ و مربع کای می‌باشند. همان‌طور که مشاهده می‌شود برای تمامی آماره‌ها، جهت هر سه نانوسیال بهترین تابع توزیع احتمال، تابع توزیع احتمال جانسون اس‌بی است. در واقع هرچه مقدار آماره یک تابع توزیع است. در احتمال کمتر باشد، آن تابع توزیع مناسب‌تر است. همچنین دو تابع توزیع احتمال ویک بای و پارتو تعمیم‌یافته در رددهای بعدی قرار دارند. در شکل (۳-ب) نمودار تابع توزیع احتمال جانسون اس‌بی ضریب اصطکاک سه نانوسیال ترسیم گردیده است. در این شکل نیز مشاهده می‌شود که تجمع داده‌ها در سمت چپ نمودارها بیشتر است و در حقیقت در اعداد رینولدز بالا تغییرات ضریب اصطکاک کمتر است.

گستردگی و تنوع روابط ارائه شده برای ضریب اصطکاک نانوسیال، این روابط به صورت سه دسته مجزای یک‌متغیره، دو‌متغیره و سه‌متغیره و بیشتر بررسی می‌گردد.

تحلیل آماری روابط یک‌متغیره ضریب اصطکاک در جریان نانوسیال

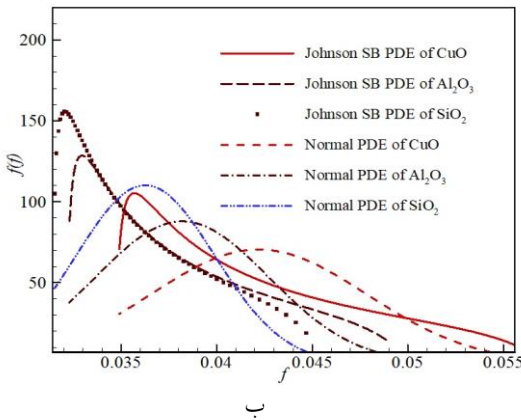
روابط یک‌متغیره ضریب اصطکاک در واقع روابطی فقط بر حسب عدد رینولدز می‌باشند. این روابط با ثابت بودن دیگر متغیرها همانند کسر حجمی ذرات نانو استخراج و توسعه داده شده‌اند. مطالعه تجربی انتقال حرارت جریان کاملاً مغشوش نانوسیال در ناحیه توسعه‌یافته یک لوله دایره‌ای شکل توسط وجها و همکاران [16] صورت گرفت. آنها از سه نانوذره CuO , SiO_2 و Al_2O_3 با کسر حجمی‌های مختلف و سیالات پایه اتیلن گلیکول-آب با نسبت جرمی ۶۰ به ۴۰ استفاده نمودند. آنها مشاهده نمودند که با افزایش عدد رینولدز ضریب اصطکاک کاهش می‌یابد. در جدول (۴) روابط توسعه داده شده ضریب اصطکاک سه نانوسیال مرجع [16] آورده شده است. همان‌طور که مشاهده می‌شود روابط (۸-۱۰) فقط بر اساس یک متغیر یعنی عدد رینولدز توسعه داده شده است و با افزایش عدد رینولدز ضریب اصطکاک کاهش می‌یابد. در شکل (۳-الف) تغییرات ضریب اصطکاک بر

جدول «۴»: روابط یک‌متغیره ارائه شده ضریب اصطکاک برای نانوسیال در جریان مغشوش

نویسنده‌گان	نانوذره	رابطه ارائه شده	
وجهه و همکاران [16]	CuO	$f = 0.9027Re^{-0.336}$ ، $\begin{cases} 4000 \leq Re \leq 16000 \\ 0 \leq \phi \leq 0.06 \end{cases}$	(۸)
	Al_2O_3	$f = 0.5814Re^{-0.2986}$ ، $\begin{cases} 4000 \leq Re \leq 16000 \\ 0 \leq \phi \leq 0.1 \end{cases}$	(۹)
	SiO_2	$f = 0.3607Re^{-0.2518}$ ، $\begin{cases} 4000 \leq Re \leq 16000 \\ 0 \leq \phi \leq 0.06 \end{cases}$	(۱۰)

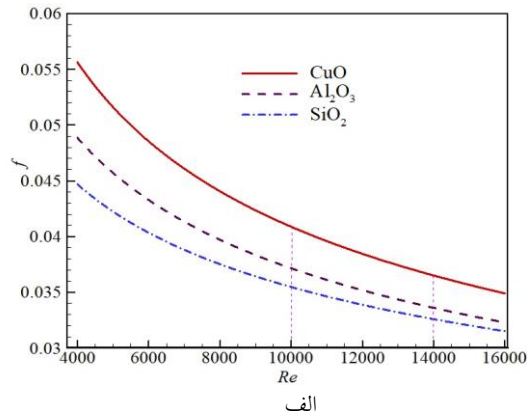
می شود که با تغییر عدد رینولدز از 10^4 تا 14×10^3 تغییر ضریب اصطکاک برای سه نانوستیال به ترتیب برابر $0/00437$ ، $0/003552$ و $0/002882$ است. بر این اساس نتیجه گرفته می شود که هر چه چولگی داده های ضریب اصطکاک کمتر باشد تغییرات ضریب اصطکاک داده ها کمتر خواهد بود. موضوع بعدی مورد بررسی بر جستگی داده های ضریب اصطکاک است که برای سه نانوستیال به ترتیب برابر $(-0/60581)$ ، $(-0/63853)$ و $(-0/67804)$ است که در واقعتابع توزیع احتمال جانسون اس بی نسبت به تابع توزیع احتمال نرمال پهن تر است. این موضوع در شکل (۲-ب) نیز نمایان است.

موضوع بعدی که باید بررسی گردد مناسب ترین آماره برای داده های ضریب اصطکاک است. بر اساس جداول (۵-۷) مشاهده می شود که برای هر سه نانوستیال، مقدار آماره مربع کای تابع توزیع جانسون اس بی کمترین مقدار است؛ بنابراین آماره مربع کای مناسب ترین آماره است. از طرفی دیگر با تحلیل آمار توصیفی داده ها مشاهده می شود که مقدار چولگی برای داده های ضریب اصطکاک نانوستیالات اکسید مس/آب، اکسید آلمینیوم/آب و دی اکسید سیلیسیم/آب به ترتیب برابر $0/66593$ ، $0/64574$ و $0/62057$ است. همان طور که ملاحظه می شود مقدار چولگی داده های ضریب اصطکاک نانوستیال دی اکسید سیلیسیم/آب از بقیه کمتر است. از طرفی دیگر بر اساس شکل (۳-الف) مشاهده



شکل ۳(ب): تغییرات ضریب اصطکاک بر حسب عدد رینولدز [۱۶]

شکل ۳(ب): تابع توزیع احتمال جانسون اس بی و نرمال ضریب اصطکاک برای روابط ارائه شده توسط وجها و همکاران [۱۶]



الف

جدول ۵ تابع توزیع احتمال روابط ضریب اصطکاک مرجع [۱۶] بر اساس آماره کولموگروف-اسمیرنوف

نوع و مقدار تابع توزیع احتمال					نانوستیال
بنا	گامای تعمیم یافته	پارتو تعمیم یافته	ویک بای	جانسون اس بی	
$0/03835$	$0/03182$	$0/02918$	$0/02918$	$0/0099$	اکسید مس/آب
مثلثی	بنا	پارتو تعمیم یافته	ویک بای	جانسون اس بی	
$0/04192$	$0/03595$	$0/0283$	$0/0283$	$0/00996$	اکسید آلمینیوم/آب
کوماراسوآمی	مثلثی	پارتو تعمیم یافته	ویک بای	جانسون اس بی	
$0/03894$	$0/03429$	$0/02722$	$0/02722$	$0/01024$	دی اکسید سیلیسیم/آب

جدول «۶»: توابع توزیع احتمال روابط ضریب اصطکاک مرجع [16] بر اساس آماره اندرسون-دارلینگ

نوع و مقدار تابع توزیع احتمال					نانوسیال
کومارسوآمی	بنا	پارت تو تعمیم یافته	ویک بای	جانسون اس بی	اکسید مس/آب
۰/۴۶۰۸۴	۰/۳۵۴۲۷	۰/۱۹۸۸۵	۰/۱۹۸۸۵	۰/۰۲۴۰۱	
مثلثی	پرت	پارت تو تعمیم یافته	ویک بای	جانسون اس بی	اکسید آلومینیوم/آب
۰/۵۴۰۹۹	۰/۴۸۶۳	۰/۱۹۰۰۹	۰/۱۹۰۰۹	۰/۰۲۴۲۸	
پرت	مثلثی	پارت تو تعمیم یافته	ویک بای	جانسون اس بی	دی اکسید سیلیسیم/آب
۰/۵۱۹۰۲	۰/۴۴۱۵۱	۰/۱۷۹۶۲	۰/۱۷۹۶۲	۰/۰۲۴۶۴	

جدول «۷»: توابع توزیع احتمال روابط ضریب اصطکاک مرجع [16] بر اساس آماره مریع کای

نوع و مقدار تابع توزیع احتمال					نانوسیال
پرت	بنا	پارت تو تعمیم یافته	ویک بای	جانسون اس بی	اکسید مس/آب
۱/۷۸۳۱	۱/۱۲۹۳	۰/۴۷۲۸۱	۰/۴۷۲۸۱	۰/۰۰۲۸۳	
پرت	گامای تعمیم یافته	پارت تو تعمیم یافته	ویک بای	جانسون اس بی	اکسید آلومینیوم/آب
۱/۷۵۰۲	۰/۷۱۶۵۹	۰/۶۴۲۰۳	۰/۶۴۲۰۳	۰/۰۰۳۳۹	
مثلثی	پرت	پارت تو تعمیم یافته	ویک بای	جانسون اس بی	دی اکسید سیلیسیم/آب
۱/۸۶۷۴	۱/۷۰۷۳	۰/۶۳۳۲۷	۰/۶۳۳۲۷	۰/۰۰۴۱۵	

VOF، مخلوط و اولرین و جهت مدل سازی جریان مغشوش از مدل دو معادله‌ای Realizable k-ε به منظور ارتباط بین سرعت و فشار از الگوریتم سیمپل سی استفاده نمودند. آنان در مطالعه دیگری [18] با استفاده از نانوسیال $\text{Al}_2\text{O}_3/\text{Al}$ به بررسی انتقال حرارت جابجایی اجباری جریان مغشوش در یک لوله‌ی دایره‌ای شکل پرداختند و برای ضریب اصطکاک رابطه‌ای ارائه کردند. مروجی و حجازیان [19] انتقال حرارت مغشوش نانوسیال اکسید آهن مغناطیسی-آب را در یک لوله دایره‌ای شکل به صورت عددی مطالعه کردند. به منظور خنک‌کاری وسایل الکترونیکی، مروجی و همکاران [20] به طور عددی اثر نانوسیالات دی اکسید تیتانیم/آب و کاربید سیلیسیم/آب را در یک چاه حرارتی میکروکانال مطالعه کردند و رابطه‌ای برای ضریب اصطکاک توسعه دادند. نانوسیال هیریدی $\text{SiO}_2-\text{TiO}_2$ در مخلوط اتیلن گلیکول-آب با نسبت ۴۰

تحلیل آماری روابط دو متغیره ضریب اصطکاک در جریان نانوسیال

در این بخش روابط دو متغیره ضریب اصطکاک سیال نانو تحلیل می‌شود. این روابط در متون علمی بر حسب دو متغیر عدد رینولدز و کسر حجمی ذرات نانو توسعه داده شده است. در جدول (۸) روابط ضریب اصطکاک دو متغیره ارائه شده است. دانگ سانگ سوک و ننگ وايزز [4] با به کارگیری یک مبدل حرارتی دولوله‌ای جریان منقطع به بررسی تجربی انتقال حرارت و افت فشار جریان مغشوش نانوسیال TiO_2/Al پرداختند. آنها برای ضریب اصطکاک رابطه‌ای بر حسب کسر حجمی ذرات نانو و عدد رینولدز توسعه دادند. حجازیان و همکاران [17] انتقال حرارت مغشوش نانوسیال دی اکسید تیتانیوم-آب را در یک کanal دو بعدی به صورت عددی مطالعه کردند. آنها جهت شبیه سازی جریان سیال از سه مدل دوفازی

یارمند و همکاران [23] صورت گرفت. توسعه رابطه‌ای دومتغیره برای ضریب اصطکاک در یک مبدل حرارتی دو لوله‌ای انحنیار با استفاده از نانوسیال $\text{Fe}_3\text{O}_4/\text{آب}$ به وسیله کومار و همکاران [24] انجام شد. ساندر و همکاران [25] به طور آزمایشگاهی انتقال حرارت و ضریب اصطکاک نانوسیال نیکل مغناطیسی در سیال پایه آب را در یک لوله دایره‌ای شکل مطالعه کردند و رابطه‌ای دومتغیره برای ضریب اصطکاک ارائه کردند. مطالعه تجربی جریان مغشوش نانوسیال هیبریدی نانو الماس/نیکل-آب با کسر حجمی‌های مختلف در یک لوله توسط ساندر و همکاران [26] منجر به استخراج رابطه‌ای دومتغیره برای ضریب اصطکاک گردید.

به ۶۰ جهت بررسی تجربی انتقال حرارت جریان مغشوش و ضریب اصطکاک در یک لوله دایره‌ای شکل توسط نبیل و همکاران [21] بکار گرفته شد. این پژوهش منجر به توسعه رابطه‌ای برای ضریب اصطکاک گردید. نایک و همکاران [22] با استفاده از نانوسیال اکسید مس-آب/پروپیلن گلیکول، به بررسی آزمایشگاهی انتقال حرارت مغشوش نانوسیال در یک لوله دارای نوارهای پیچشی پرداختند. این نویسندها روابط متعددی برای ضریب اصطکاک تحت شار حرارتی یکنواخت بر روی دیواره به وسیله

جدول «۸»: روابط ارائه شده دومتغیره ضریب اصطکاک برای نانوسیالات مختلف در جریان مغشوش

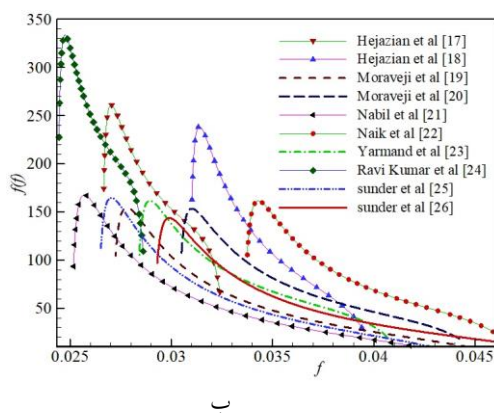
نویسندها	رابطه ارائه شده	
دانگ سانگ سوک و وانگ وایز [4]	$f = 0.961\phi^{0.052}Re^{-0.375}$, $\begin{cases} 4000 \leq Re \leq 14000 \\ 0.2 \leq \phi \leq 2\% \end{cases}$	(۱۱)
حجازیان و همکاران [17]	$f = 0.31017Re^{-0.256}(1+\phi)^{0.00129}$, $\begin{cases} 6738 \leq Re \leq 14596 \\ 0 \leq \phi \leq 0.02 \end{cases}$	(۱۲)
حجازیان و همکاران [18]	$f = 0.14332Re^{-0.1615}(1+\phi)^{0.1709}$, $3000 \leq Re \leq 13200$	(۱۳)
مروجی و حجازیان [19]	$f = 0.33139Re^{-0.25}(1+\phi)^{1.38}$, $\begin{cases} 3000 \leq Re \leq 22000 \\ 0 \leq \phi \leq 0.6 \end{cases}$	(۱۴)
مروجی و همکاران [20]	$f = (1.882404 \log Re - 1.64)^{-2}(1+\phi)^{0.0010775}$ $(2500 \leq Re \leq 8200)$	(۱۵)
نبیل و همکاران [21]	$f = 0.3164Re^{-0.25}\left(1 + \frac{\phi}{100}\right)^{2.8}$, $\begin{cases} 3000 \leq Re \leq 25000 \\ 0 \leq \phi \leq 3\% \end{cases}$	(۱۶)
نایک و همکاران [22]	$f = 0.2753Re^{-0.2279}(1+\phi)^{0.2129}$, $\begin{cases} 2500 \leq Re \leq 10000 \\ 0 \leq \phi \leq 0.5\% \end{cases}$	(۱۷)
یارمند و همکاران [23]	$f = 0.567322Re^{-0.285869}\phi^{0.0271605}$, $\begin{cases} 5000 \leq Re \leq 17500 \\ 0 < \phi < 0.1\% \end{cases}$	(۱۸)
کومار و همکاران [24]	$f = 0.3216Re^{-0.25}(1+\phi)^{1.319}$, $\begin{cases} 16000 \leq Re \leq 30000 \\ 0 < \phi < 0.06\% \end{cases}$	(۱۹)
ساندر و همکاران [25]	$f = 0.295Re^{-0.241}(1+\phi)^{0.3097}$, $\begin{cases} 3000 \leq Re \leq 22000 \\ 0 < \phi < 0.3\% \end{cases}$	(۲۰)
ساندر و همکاران [26]	$f = 0.35662Re^{-0.25}(1+\phi)^{0.2375}$, $\begin{cases} 3000 \leq Re \leq 22000 \\ 0 < \phi < 0.6\% \end{cases}$	(۲۱)

همانند تابع توزیع احتمال جانسون اس بی شکل های قبل، مشاهده می شود که تراکم داده های ضریب اصطکاک هر نمودار در سمت چپ آن یعنی نزدیک مقادیر کوچک تر واقع شده است و در حقیقت تابع توزیع احتمال جانسون اس بی چولگی راست دارد.

تحلیل آماری روابط سه متغیره و بیشتر ضریب اصطکاک در جریان نانوسیال

روابط سه متغیره و بالاتر ضریب اصطکاک نانوسیال در این بخش تحلیل می شود. این روابط بر حسب متغیرهای عدد رینولدز، کسر حجمی ذرات نانو، نسبت قطر نانوذرات به قطر ذرات سیال پایه، کسر حجمی هر یک از ذرات در نانوسیالات هیریدی، نسبت منظری یا نسبت عرض به ارتفاع کانال، نسبت قطر هیدرولیکی به قطر داخلی کانال در کانال های حاوی نوار و نسبت چرخش نوار توسعه داده شده است. در جدول (۹) روابط ضریب اصطکاک چند متغیره ارائه شده توسط محققین آورده شده است.

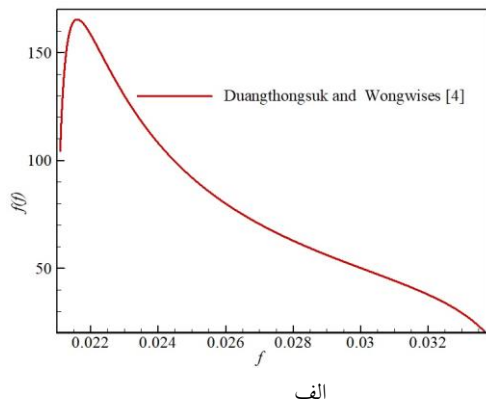
دورگا پراساد و همکاران [27] انتقال حرارت جابجایی اجباری جریان مغشوش نانوسیال اکسید آلومینیوم-آب را در یک مبدل حرارتی دو لوله ای انحصار به طور آزمایشگاهی مطالعه کردند. آنها از نوارهای مارپیچی با نسبت p/d مختلف و کسر حجمی های متفاوت استفاده کردند.



شکل «۴»: تابع توزیع احتمال جانسون اس بی ضریب اصطکاک الف- مرجع [4] ب- مراجع [17-26]

بر اساس روابط جدول (۸) مشاهده می شود که مقدار کسر حجمی در یک بازه بوده و یا در کار آزمایشگاهی و مطالعه عددی گهگاه از کسر حجمی های مختلفی استفاده شده است. با توجه به اینکه در مطالعه حاضر، تحلیل آماری بر اساس تغییر عدد رینولدز و ثابت نگه داشتن سایر پارامترها انجام شده است، لذا برای تحلیل هر رابطه از یک کسر حجمی استفاده گردیده است که برای مراجع [14,17-26] به ترتیب از کسر حجمی های $1, 1/5, 1/15, 1/24, 1/1, 1/2, 1/0.2, 1/0.3, 1/0.6$ درصد استفاده شده است. همچنین مقادیر عدد رینولدز جهت تحلیل آماری بر اساس بازه تعریف شده هر رابطه در نظر گرفته شده است.

تحلیل آماری داده های روابط دو متغیره ضریب اصطکاک جریان نانوسیال نتایجی مشابه با بخش قبل یعنی تحلیل آماری روابط یک متغیره را نشان می دهد. با توجه به تشابه نتایج از آوردن جدول توابع توزیع احتمال آماره ها صرف نظر شده است. پس از بررسی نتایج مشاهده می شود که بهترین تابع توزیع احتمال داده های ضریب اصطکاک روابط دو متغیره نیز همانند روابط یک متغیره، تابع توزیع احتمال جانسون اس بی است، اما مناسب ترین آماره در این حالت، آماره کولموگروف- اسمیرنوف نتیجه گردید. در شکل (۴) تابع توزیع احتمال جانسون اس بی روابط دو متغیره مطابق با جدول (۸) ترسیم شده است. در شکل (۴) نیز



الف

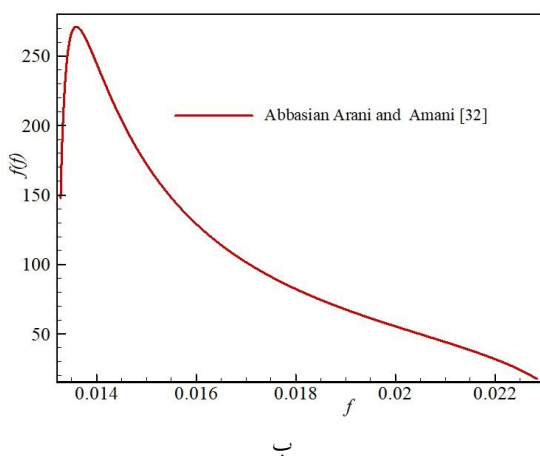
جدول «۹»: روابط ارائه شده سه‌متغیره و بیشتر ضریب اصطکاک برای نانوپیل‌الات مختلف در جریان مغشوش

نویسنده‌گان	رابطه ارائه شده	
دورگا پراساد و همکاران [27]	$f = 0.284Re^{-0.24} (1+\phi)^{2.46} \left(1 + \frac{p}{d}\right)^{0.04}$, $\begin{cases} 3000 \leq Re \leq 30000 \\ 0 < \phi < 0.03\% \\ 0 < p/d < 20 \end{cases}$	(۲۲)
عبدالحمید و همکاران [28]	$f = 0.3164Re^{-0.25} \left(1 + \frac{\phi}{100}\right)^{3.1} (1+R)^{-0.032}$, $\begin{cases} 3000 \leq Re \leq 24000 \\ 0 \leq \phi \leq 0.01 \\ 0 \leq R \leq 0.8 \end{cases}$	(۲۳)
نایک و همکاران [22]	$f = 0.2086Re^{-0.1946} (1+\phi)^{0.2507} \left(1 + \frac{H}{D}\right)^{0.01251}$, $\begin{cases} 2500 \leq Re \leq 10000 \\ 0 < \phi < 0.5\% \\ 5 < H/D < 15 \end{cases}$	(۲۴)
راوی کومار و همکاران [29]	$f = 0.2902Re^{-0.2409} (1+AR)^{0.0039} (1+\phi)^{1.95} \left(\frac{D_h}{D_i}\right)^{-0.081}$ $3000 < Re < 30000, \quad 0 < \phi < 0.03\%, \quad 0 < AR < 12$	(۲۵)
ساندر و همکاران [30]	$f = 0.351Re^{-0.2427} (1+\phi)^{0.4039} (1+AR)^{-0.0045} \left(1 + \frac{D_h}{D_i}\right)^{-0.22}$ $3000 \leq Re \leq 22000, \quad 0 < \phi < 0.3\%, \quad 0 < AR < 12$	(۲۶)
ساندر و همکاران [31]	$f = 0.2689Re^{-0.2312} (1+\phi)^{0.3556} (1+AR)^{-0.0024} \left(\frac{D_h}{D_i}\right)^{-0.083}$ $3000 \leq Re \leq 22000, \quad 0 < \phi < 0.3\%, \quad 0 < AR < 4$	(۲۷)
عباسیان آرانی و امانی [32]	$f = 0.73\phi^{0.15}Re^{-0.32} \left(\frac{d_p}{d_f}\right)^{0.02}$, $\begin{cases} 9000 \leq Re \leq 49000 \\ 0.01 \leq \phi \leq 0.02 \\ d_p = 10, 20, 30, 50 (\text{nm}) \end{cases}$	(۲۸)
ساندر و شرما [33]	$f = 1.184Re^{-0.3840} (0.001+AR)^{-0.001} (0.001+\phi)^{0.004593} \left(\frac{D_h}{D_i}\right)^{-1.6420}$ $3000 \leq Re \leq 22000, \quad 0 < \phi < 0.5\%, \quad 0 < AR < 18$	(۲۹)

پیچش نوار توسعه دادند. به منظور گرینش بهترینتابع توزیع ضریب اصطکاک نسبت H/D در مرجع [22] برابر ۱۰ در نظر گرفته شده است. راوی کومار و همکاران [29] با استفاده از نانوپیل $\text{Fe}_3\text{O}_4/\text{آب}$ انتقال حرارت و ضریب اصطکاک را در یک مبدل حرارتی دو لوله‌ای U شکل به همراه نوارهای طولی در لوله داخلی به صورت آزمایشگاهی مطالعه نمودند. آنها از کسر حجمی های 0.001 ، 0.003 و 0.005 و 0.006 و نسبت آماری استفاده نمودند که در تحلیل آماری، کسر حجمی برابر 0.001 و $AR=2$ انتخاب گردیده است. ساندر و همکاران [30] با استفاده از نانولوله‌های کربنی چند دیواره نانوکامپوزیت اکسید

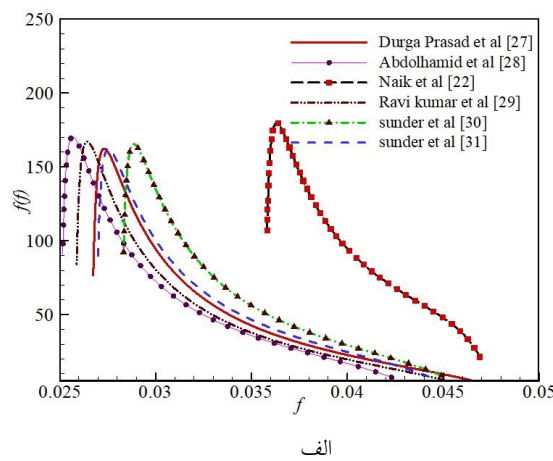
در تحلیل آماری ضریب اصطکاک مرجع [27] از کسر حجمی 0.02 درصد و نسبت p/d برابر ۱۵ استفاده شده است. مطالعه آزمایشگاهی انتقال حرارت جابجایی اجباری جریان مغشوش نانوپیل ترکیبی $\text{TiO}_2\text{-SiO}_2$ در سیال پایه آب-اتیلن گلیکول در یک مبدل حرارتی دو لوله‌ای توسط عبدالحمید و همکاران [28] انجام شد. نتایج آنها بهترین عملکرد نانوپیل مخلوط را در نسبت ۴۰ (۴۰ SiO_2) به 60 (TiO_2) نشان داد. به همین دلیل در مطالعه حاضر از این نسبت جهت بحث آماری استفاده می‌شود. محققین مرجع [22] رابطه دیگری برای ضریب اصطکاک بر اساس سه متغیر عدد رینولدز، کسر حجمی ذرات نانو و نسبت

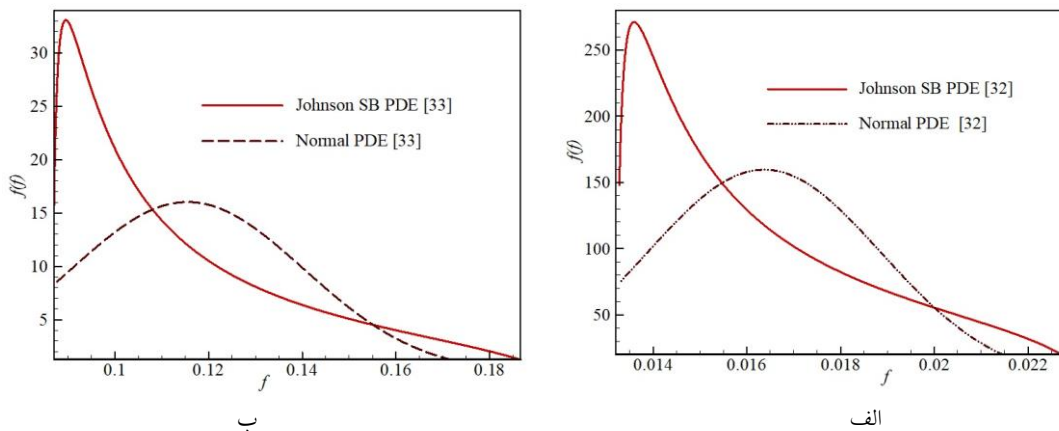
برابر با $4652/0$ ، مقدار (AR) برابر ۲ و کسر حجمی ذرات نانو برابر $1/0$ درصد فرض شده است. به منظور تحلیل آماری و گزینش بهترینتابع توزیع ضریب اصطکاک بر اساس سه آماره کولموگروف-اسمیرنوف، اندرسون-دارلینگ و مربع کای با ثابت نگه داشتن متغیرهای دیگر، متغیر عدد رینولدز تغییر داده می شود. همانند نتایج بخش های قبل، در اینجا نیز پس از تحلیل نتایج مشاهده می شود که بهترین تابع توزیع احتمال ضریب اصطکاک بر اساس هر ۳ آماره، تابع توزیع احتمال جانسون اس بی است و مناسب ترین آماره نیز آماره کولموگروف-اسمیرنوف نتیجه گردید. در شکل (۵) تابع توزیع احتمال جانسون اس بی روابط ضریب اصطکاک چند متغیره توسعه داده شده محققین ترسیم شده است. از طرفی دیگر، همانند نتایج بخش های قبلی، همان طور که در شکل (۵) نیز مشاهده می شود تابع توزیع احتمال جانسون اس بی چولگی راست دارد. شکل (۶) مقایسه تابع توزیع احتمال جانسون اس بی روابط مراجع [32, 33] را با تابع توزیع نرمال نشان می دهد. همان طور که در این شکل نیز مشخص است تابع توزیع جانسون اس بی نسبت به تابع توزیع نرمال پهن تر است.



شکل «۵»: تابع توزیع احتمال جانسون اس بی ضریب اصطکاک الف- مراجع [22, 27-31] ب- مرجع [32]

آهن و سیال پایه آب، انتقال حرارت و ضریب اصطکاک را در یک لوله به همراه نوارهای طولی به طور تجربی مطالعه نمودند. ساندر و همکاران [31] با استفاده از نانوسیال هیبریدی نانوالماس-نیکل و سیال پایه آب، انتقال حرارت و ضریب اصطکاک را در یک لوله به همراه نوارهای طولی به طور تجربی مطالعه نمودند. عباسیان آرانی و امانی [32] با مطالعه تجربی انتقال حرارت کاملاً توسعه یافته جریان مغشوش نانوسیال دی اکسید تیتانیوم-آب در یک مبدل حرارتی دو لوله‌ای جریان متقاطع، رابطه‌ای برای ضریب اصطکاک بر حسب عدد رینولدز، کسر حجمی نانوذرات و نسبت قطر نانوذرات به قطر ذرات سیال پایه ارائه نمودند. آنها کسر حجمی ذرات نانو را در بازه $0/01$ تا $0/02$ و عدد رینولدز را در بازه 9000 تا 49000 انتخاب کردند. جهت تحلیل آماری رابطه ضریب اصطکاک مرجع [32]، عدد رینولدز در همان بازه مذکور و کسر حجمی برابر $15/0$ انتخاب شده است. ساندر و شرما [33] با قرار دادن نوارهای طولی با نسبت منظری‌های مختلف در داخل یک لوله دایره‌ای شکل به مطالعه تجربی جریان مغشوش سیال نانوی اکسید آلومینیوم-آب با کسر حجمی‌های مختلف پرداختند. در تحلیل آماری روابط توسعه داده شده ضریب اصطکاک مراجع [30, 31, 33] مقدار (D_h/D_i)





شکل ۶: تابع توزیع احتمال جانسون اس بی و نرمال ضریب اصطکاک برای روابط ارائه شده الف- مرجع [32] ب- مرجع [33]

شد که هر چه چولگی داده‌های ضریب اصطکاک کمتر باشد، تغییرات ضریب اصطکاک داده‌ها کمتر خواهد بود.

فهرست علائم	
قطر لوله	D, d
ضریب اصطکاک،	f
تابع توزیع احتمال	
عرض نوار پیچشی	H
گام شیار	p
عدد رینولدز	Re
علائم یونانی	
ضریب شکل	γ
ضریب شکل	δ
پارامتر مقیاس	λ
پارامتر مقیاس	μ
ضریب مکان	κ
ضریب مکان	σ
كسر حجمی نانوذرات	ϕ
ارتفاع شیار	χ

نتیجه‌گیری

در مقاله حاضر روابط ضریب اصطکاک ارائه شده توسط محققین در سیال پایه و نانوسیالات مختلف تجزیه و تحلیل آماری شده است. روابط در نظر گرفته شده بر اساس جریان مغشوش سیال انتخاب گردیده‌اند. در تحلیل آماری از ۴۸ تابع توزیع احتمال استفاده شده است. برای مشخص نمودن بهترین تابع توزیع احتمال جهت داده‌های ضریب اصطکاک از آماره‌های کولموگروف- اسمیرنوف، اندرسون- دارلینگ و مریع کای استفاده شده است. پس از بررسی و تحلیل نتایج مشخص گردید که بهترین تابع توزیع احتمال داده‌های مستخرج از روابط ارائه شده ضریب اصطکاک، هم در سیال پایه و هم در نانوسیال، بر اساس هر سه آماره، تابع توزیع احتمال جانسون اس بی است. همچنین مناسب‌ترین آماره برای سیال پایه، آماره کولموگروف- اسمیرنوف، برای نانوسیال یک متغیره، آماره مریع کای و برای نانوسیال چند متغیره، آماره کولموگروف- اسمیرنوف نتیجه گردید. از طرفی دیگر، در بررسی آماری مشخص گردید تابع توزیع احتمال جانسون اس بی نسبت به تابع توزیع نرمال پهن‌تر یا در واقع کشیدگی داده‌های ضریب اصطکاک منفی است و همچنین نتیجه گردید که تابع توزیع احتمال جانسون اس بی چولگی راست دارد. از سوی دیگر نشان داده

Kurtosis	کشیدگی	واژه‌نامه
Statistical	آماری	ضریب اصطکاک
	Skewness	چولگی

مراجع

1. Syam Sundar, L. and Singh, M.K., "Convective Heat Transfer and Friction Factor Correlations of Nanofluid in a Tube and with Inserts: A Review", *Renewable and Sustainable Energy Reviews*, Vol. 20, pp. 23-35, (2013).
2. Khoshvaght-Aliabadi, M. and Sahamiyan, M., "Performance of Nanofluid Flow in Corrugated Minichannels Heat Sink (Cmchs)", *Energy Conversion and Management*, Vol. 108, pp. 297-308, (2016).
3. Ghazvini, M. and Shokouhmand, H., "Investigation of a Nanofluid-Cooled Microchannel Heat Sink Using Fin and Porous Media Approaches", *Energy Conversion and Management*, Vol. 50, No. 9, pp. 2373-80, (2009).
4. Duangthongsuk, W. and Wongwises, S., "An Experimental Study on the Heat Transfer Performance and Pressure Drop of TiO₂-Water Nanofluids Flowing under a Turbulent Flow Regime" *International Journal of Heat and Mass Transfer*, Vol. 53, No. 1-3, pp. 334-44, (2010).
5. Sajid, M. U. and Hafiz M. A., "Recent Advances in Application of Nanofluids in Heat Transfer Devices: A Critical Review", *Renewable and Sustainable Energy Reviews*, Vol. 103, pp. 556-92, (2019).
6. Hamzah, M. H., Sidik, N. A. C., Ken, T. L., Mamat, R. and Najafi, G., "Factors Affecting the Performance of Hybrid Nanofluids: A Comprehensive Review", *International Journal of Heat and Mass Transfer*, Vol. 115, pp. 630-46, (2017).
7. Ambreen, T. and Kim, M. H., "Heat Transfer and Pressure Drop Correlations of Nanofluids: A State of Art Review", *Renewable and Sustainable Energy Reviews*, Vol. 91, pp. 564-83, (2018).
8. Sharma, K. V., Syam Sundar, L. and Sarma, P. K., "Estimation of Heat Transfer Coefficient and Friction Factor in the Transition Flow with Low Volume Concentration of Al₂O₃ Nanofluid Flowing in a Circular Tube and with Twisted Tape Insert", *International Communications in Heat and Mass Transfer*, Vol. 36, No. 5, pp. 503-07, (2009).
9. Akhavan-Behabadi, M. A., Shahidi, M. and Aligoodarz, M. R., "An Experimental Study on Heat Transfer and Pressure Drop of Mwcnt-Water Nano-Fluid inside Horizontal Coiled Wire Inserted Tube", *International Communications in Heat and Mass Transfer*, Vol. 63, pp. 62-72, (2015).
10. Vahidinia, F., Keshtgar, B. and Miri, M., "Statistical Analysis of the Effect of Nanoparticles Volume Fraction on Turbulent Forced Convective Heat Transfer Coefficient of Nanofluid in a Circular Tube", *Ciência e Natura*, Vol. 37, pp. 141-52, (2015).
11. وحیدی نیا، فرهاد، میری، محدثه و کشتہ گر، بهروز، "مطالعه تولید آنتروپی و ارزیابی خواص آماری انتقال حرارت در جریان مغشوش"، مجله علوم کاربردی و محاسباتی در مکانیک، سال ۲۹، شماره ۱، ص ۶۳-۶۸. (۱۳۹۶).
12. Blasius, H., *Grenzschichten in Flüssigkeiten Mit Kleiner Reibung*, Druck von BG Teubner, (1907).
13. Petukhov, B. S., "Heat Transfer and Friction in Turbulent Pipe Flow with Variable Physical Properties", *In Advances in Heat Transfer*, Vol. 6, pp. 503-64, (1970).

14. Naphon, P., Nuchjapo, M. and Kurujareon, J., "Tube Side Heat Transfer Coefficient and Friction Factor Characteristics of Horizontal Tubes with Helical Rib", *Energy Conversion and Management*, Vol. 47, No. 18-19, pp. 3031-44, (2006).
15. Li, M., Khan, T. S., Al-Hajri, E. and Ayub, Z. H., "Single Phase Heat Transfer and Pressure Drop Analysis of a Dimpled Enhanced Tube", *Applied Thermal Engineering*, Vol. 101, pp. 38-46, (2016).
16. Vajjha, R. S., Das, D. K. and Kulkarni, D. P., "Development of New Correlations for Convective Heat Transfer and Friction Factor in Turbulent Regime for Nanofluids", *International Journal of Heat and Mass Transfer*, Vol. 53, No. 21-22, pp. 4607-18, (2010).
17. Hejazian, M., Keshavarz Moraveji, M. and Beheshti, A., "Comparative Numerical Investigation on TiO_2 /Water Nanofluid Turbulent Flow by Implementation of Single Phase and Two Phase Approaches", *Numerical Heat Transfer, Part A: Applications*, Vol. 66, No. 3, pp. 330-48, (2014).
18. Hejazian, M., Keshavarz Moraveji M. and Beheshti A., "Comparative Study of Euler and Mixture Models for Turbulent Flow of Al_2O_3 Nanofluid inside a Horizontal Tube", *International Communications in Heat and Mass Transfer*, Vol. 52, pp. 152-58, (2014).
19. Keshavarz Moraveji, M. and Hejazian M., "Modeling of Turbulent Forced Convective Heat Transfer and Friction Factor in a Tube for Fe_3O_4 Magnetic Nanofluid with Computational Fluid Dynamics", *International Communications in Heat and Mass Transfer*, Vol. 39, No. 8, pp. 1293-96, (2012).
20. Keshavarz Moraveji, M., Ardehali, R. M. and Ijam A., "CFD Investigation of Nanofluid Effects (Cooling Performance and Pressure Drop) in Mini-Channel Heat Sink", *International Communications in Heat and Mass Transfer*, Vol. 40, pp. 58-66, (2013).
21. Nabil, M. F., Azmi W. H., Hamid, K. A. and Mamat R., "Experimental Investigation of Heat Transfer and Friction Factor of TiO_2-SiO_2 Nanofluids in Water: Ethylene Glycol Mixture", *International Journal of Heat and Mass Transfer*, pp. 124, pp. 1361-69, (2018).
22. Naik, M. T., Janardana, G. R. and Syam Sundar, L., "Experimental Investigation of Heat Transfer and Friction Factor with Water–Propylene Glycol Based CuO Nanofluid in a Tube with Twisted Tape Inserts", *International Communications in Heat and Mass Transfer*, Vol. 46, pp. 13-21, (2013).
23. Yarmand, H. Gharehkhani, S., Ahmadi, G., Seyed Shirazi, S. F., Baradaran, S., Montazer, E., Mohd Zubir, M. N., Alehashem, M. S., Kazi, S. N. and Dahari, M., "Graphene Nanoplatelets–Silver Hybrid Nanofluids for Enhanced Heat Transfer", *Energy Conversion and Management*, Vol. 100, pp. 419-28, (2015).
24. Ravi Kumar, N. T., Bhramara, P., Addis, B. M., Syam Sundar, L., Singh, M. K. and Sousa, A. C. M., "Heat Transfer, Friction Factor and Effectiveness Analysis of Fe_3O_4 /Water Nanofluid Flow in a Double Pipe Heat Exchanger with Return Bend", *International Communications in Heat and Mass Transfer*, Vol. 81, pp. 155-63, (2017).
25. Syam Sundar, L., Singh, M.K. and Sousa, A.C.M., "Turbulent Heat Transfer and Friction Factor of Nanodiamond-Nickel Hybrid Nanofluids Flow in a Tube: An Experimental Study", *International Journal of Heat and Mass Transfer*, Vol. 117, pp. 223-34, (2018).
26. Syam Sundar, L. Singh, M.K., Bidkin, I. and Sousa, A.C.M., "Experimental Investigations in Heat Transfer and Friction Factor of Magnetic Ni Nanofluid Flowing in a Tube", *International Journal of Heat and Mass Transfer*, Vol. 70, pp. 224-34, (2014).
27. Durga Prasad, P.V., Gupta, A.V.S.S.K.S., Sreeramulu, M., Syam Sundar, L., Singh, M.K. and Sousa, A.C.M., "Experimental Study of Heat Transfer and Friction Factor of Al_2O_3 Nanofluid in U-Tube

- Heat Exchanger with Helical Tape Inserts", *Experimental Thermal and Fluid Science*, Vol. 62, pp. 141-50, (2015).
28. Abdul Hamid, K., Azmi, W. H., Nabil, M. F. and Mamat, R. "Experimental Investigation of Nanoparticle Mixture Ratios on TiO_2 - SiO_2 Nanofluids Heat Transfer Performance under Turbulent Flow", *International Journal of Heat and Mass Transfer*, Vol. 118, pp. 617-27, (2018).
29. Ravi Kumar, N. T., Bhramara, P., Syam Sundar, L., Singh, M. K. and Sousa, A. C. M., "Heat Transfer, Friction Factor and Effectiveness of Fe_3O_4 Nanofluid Flow in an Inner Tube of Double Pipe U-Bend Heat Exchanger with and without Longitudinal Strip Inserts", *Experimental Thermal and Fluid Science*, Vol. 85, pp. 331-43, (2017).
30. Syam Sundar, L., Otero-Irurueta, G., Singh, M. K. and Sousa, A. C. M., "Heat Transfer and Friction Factor of Multi-Walled Carbon Nanotubes- Fe_3O_4 Nanocomposite Nanofluids Flow in a Tube with/without Longitudinal Strip Inserts." *International Journal of Heat and Mass Transfer*, Vol. 100, pp. 691-703, (2016).
31. Syam Sundar, L., Singh, M.K. and Sousa, A.C.M., "Heat Transfer and Friction Factor of Nanodiamond-Nickel Hybrid Nanofluids Flow in a Tube with Longitudinal Strip Inserts", *International Journal of Heat and Mass Transfer*, Vol. 121, pp. 390-401, (2018).
32. Abbasian Arani, A.A. and Amani, J., "Experimental Investigation of Diameter Effect on Heat Transfer Performance and Pressure Drop of TiO_2 -Water Nanofluid", *Experimental Thermal and Fluid Science*, Vol. 44, pp. 520-33, (2013).
33. Syam Sundar, L. and Sharma, K.V., "Heat Transfer Enhancements of Low Volume Concentration Al_2O_3 Nanofluid and with Longitudinal Strip Inserts in a Circular Tube", *International Journal of Heat and Mass Transfer*, Vol. 53, No. 19-20, pp. 4280-86, (2010).

